

## طراحی و شبیه سازی رکوپراتور حرارتی جهت کوره H-101 پالایشگاه تهران

حامد شعبانی<sup>۱</sup>، ایرج ناصر<sup>۲</sup>، مهدی رفیع زاده<sup>۳</sup>

دانشگاه آزاد اسلامی واحد شاهروود، دانشکده فنی مهندسی، گروه مهندسی شیمی  
Hamed\_sh\_68@yahoo.com

چکیده

امروزه مقادیر بسیاری گاز گرم حاصل از احتراق سوخت توسط بویلرها و انواع متنوع کوره‌ها در صنایع مختلف تولید می‌شود، بازیافت انرژی (Waste Heat Recovery) موجود در این گازها این امکان را فراهم می‌سازد که مقادیر بسیاری از انرژی اولیه مصرفی کاهش یابد. "کیفیت حرارت" در کنار کمیت انرژی موجود در جریان خروجی، یکی از متغیرهای اصلی تأثیر گذار روی میزان توجیه‌پذیری اقتصادی طرح‌های بازیافت حرارت می‌باشد. کاهش هزینه‌های انرژی مصرفی به طور مستقیم و کاهش آلودگیهای زیست محیطی، اندازه تجهیزات و مصرف انرژی تجهیزات جانبی همگی از مزایای غیر مستقیم بازیافت حرارت از جریانهای خروجی می‌باشد. حتی در برخی از کاربردها بازیافت حرارت از جریانهای خروجی منجر به افزایش ظرفیت تولید در واحد صنعتی می‌شود. برخی از سیستمهای بازیافت حرارت متداول عبارتند از رکوپراتورها، بویلرهای بازیافت حرارتی، لوله‌های حرارتی، اکونومایزرها و بازیافت متناوب حرارت. رکوپراتورها مبدل‌های حرارتی می‌باشند که با استفاده از انرژی حرارتی گازهای خروجی از دودکش کوره (Flue gas) جهت پیش گرم نمودن هوای احتراق ورودی به کوره مورد بهره برداری قرار می‌گیرند. استفاده از این سیستم سبب می‌گردد علاوه بر افزایش دمای شعله به مقدار قابل توجهی نیز در مصرف سوخت کوره صرفه جوئی حاصل گردد، لذا می‌توان بیان نمود به کارگیری صحیح این نوع مبدل‌ها علاوه بر اینکه نوعی بهینه سازی مصرف انرژی محاسبه می‌شود سبب افزایش کارائی کوره مورد نظر نیز می‌گردد. در این مقاله پس از اینکه رکوپراتورهای حرارتی و انواع آن به اختصار مورد بررسی قرار می‌گیرد، با استفاده از آنالیز گازهای خروجی از کوره H-101 پالایشگاه تهران طراحی و شبیه سازی رکوپراتورهای حرارتی جهت کوره مذکور صورت می‌پذیرد. طراحی با استفاده از محاسبات ریاضی و بر مبنای قوانین انتقال حرارت در مبدل‌های حرارتی و نیز بهره گیری از استانداردهای جهانی موجود (استاندارد TEMA)، قبل اجرا می‌باشد و شبیه سازی نیز با بکارگیری نرم افزار Aspen Hetran که از زیر مجموعه‌های Aspen HTFS+ است، صورت می‌پذیرد. نتایج حاصل از طراحی و شبیه سازی در جداولی جداگانه تهیی و ارائه گردیده است که امکان مقایسه آن‌ها را نیز فراهم می‌سازد.

**واژه‌های کلیدی:** بازیافت انرژی، رکوپراتور حرارتی، مبدل پوسته لوله، طراحی، شبیه سازی

<sup>۱</sup>. دانشجوی کارشناسی ارشد مهندسی شیمی، دانشگاه آزاد اسلامی واحد شاهروود

<sup>۲</sup>. دکتری مهندسی شیمی و عضو هیئت علمی دانشگاه آزاد اسلامی واحد تهران جنوب

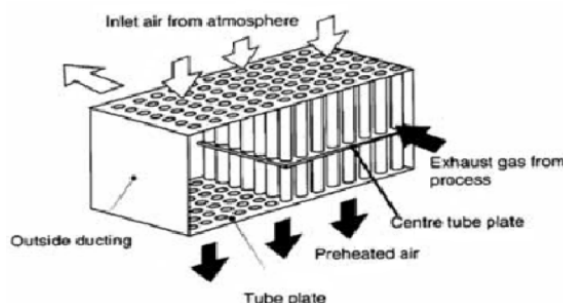
<sup>۳</sup>. دکتری مهندسی شیمی و عضو هیئت علمی دانشگاه صنعتی امیر کبیر

## ۱- مقدمه

مقایسه میزان مصرف سرانه و مصرف ویژه انرژی بین کشورهای توسعه یافته و ایران، نشان دهنده کارایی کم در تولید محصول و بازده پایین مصرف حامل های انرژی می باشد. نگاهی به آمار سالیانه شدت مصرف انرژی کشورهای توسعه یافته نشان می دهد که با وجود افزایش تولید ناچالص داخلی، شدت مصرف انرژی آنها کاهش داشته است. پایین آوردن هزینه های تولید با کم کردن سهم انرژی در قیمت تمام شده محصول نهایی، کاهش آلودگی های زیست محیطی و همچنین پایان پذیر بودن منابع سوخت های فسیلی، مهمترین محرك کشورهای دنیا در بهسازی، نوسازی و توسعه فعالیت های تحقیق و توسعه ای در بخش انرژی بوده است . بخش های اصلی مصرف کننده انرژی در کشور عبارتند از بخش خانگی و تجاری، حمل و نقل، صنعت و کشاورزی که مجموعه صنعت با ۲۲٪ از کل مصرف انرژی در کشور در رتبه سوم بخش های انرژی بر، فرار می گیرد. یکی از تجهیزات پر مصرف انرژی در صنایع، کوره های حرارتی می باشد که عمدتاً در صنایعی مانند: صنایع پالایشگاهی و پتروشیمی، ذوب و تصفیه فلزات، کاشی، سرامیک و سیمان و ... مورد استفاده قرار می گیرند. از آنجا که معمولاً در سیستمهای با دمای بالا، اتلاف انرژی زیاد است و از طرفی، فرآیند احتراق نیز همواره در دمای بالا صورت می گیرد در بیشتر موارد، پتانسیل صرفه جویی انرژی در سیستمهای احتراقی یک واحد صنعتی، بیشتر از سایر قسمتهای آن است. بنابراین با توجه به گستردگی استفاده از سیستمهای احتراقی در صنایع، در صورت توجه به ضرورت بهینه سازی این تجهیزات، به مقدار زیادی در مصرف سوخت واحدهای صنعتی صرفه جویی خواهد شد. تمامی فرآیندها و تجهیزات صنعتی برای انجام وظیفه مورد نظر، نیاز به دریافت انرژی دارند لکن از آنجاییکه امکان تبدیل تمام انرژی ورودی به کار مفید وجود ندارد، بخشی از این انرژی به شکل حرارت تلف می شود، از اینرو به منظور استفاده مجدد از این حرارت تلف شده و صرفه جویی در مصرف سوخت، سیستمهای متعددی توسعه یافته اند که به طور گسترده در صنایع مورد استفاده قرار می گیرند. برای انتخاب سیستم بازیافت حرارت مناسب قدم اول شناسایی تلفات حرارتی در فرآیند و برآورده پتانسیل صرفه جویی انرژی است. برای انجام این مهم، همواره می بایست دو عامل مورد بررسی قرار گیرند، درجه حرارت و نرخ جریانهای خروجی. اصول کلی عملکرد اغلب سیستم های بازیافت حرارت، انتقال حرارت از جریان خروجی با دمای بالا به یک جریان ورودی با دمای پایین تر است. بدین ترتیب بخش عده ای از حرارت تلف شده به یک جریان دیگر منتقل می شود. لازم به ذکر است، استفاده از سیستم ها بازیافت حرارت، زمانی توجیه اقتصادی دارد که بتوان حرارت تلف شده را در جایی دیگر و به شکلی مفید مورد استفاده قرار داد از جمله کاربردهایی که برای سیستمهای بازیافت حرارت وجود دارد، می توان به پیشگرم کردن هوای احتراق، گرمایش فضاهای بسته ، تولید آب گرم ، گرمایش فرآیند، تولید بخار و پیشگرم نمودن آب تغذیه بویلر اشاره نمود. برخی از سیستمهای بازیافت حرارت متداول عبارتند از رکوپراتورها، بویلرهای بازیافت حرارتی، لوله های حرارتی، اکونومایزرها و بازیافت متناوب حرارت.

## ۲- رکوپراتورهای حرارتی و انواع آن

رکوپراتور ها مجموعه ای از مبدل های حرارتی هستند که جهت انتقال حرارت از گازهای گرم تولید شده در محفظه احتراق به هوای سرد مورد استفاده در فرآیند احتراق، به کار می روند. گرمایی که به کوره باز می گردد باعث افزایش راندمان آن می شود علاوه بر آن دمای شعله نیز به مقدار قابل توجهی افزایش می یابد.



شکل (۱) : بازیابی حرارت اتلافی با استفاده از رکوپراتور حرارتی

## ۱-۲- رکوپراتور تشعشعی فلزی

ساده ترین شکل برای رکوپراتورها ، رکوپراتور تشعشعی فلزی است که شامل دو لوله هم مرکز طولی می باشد، لوله داخلی گازهای گرم خروجی از کوره را به همراه دارد و لوله بیرونی حاوی هوا مورد نیاز کوره جهت احتراق می باشد. بدین ترتیب هوا احتراق توسط انرژی گرمائی گازهای دودکش که بدون هیچگونه استفاده ای وارد محیط اطراف می گردید، گرم می شوند و با انرژی افزوده وارد محفظه احتراق می گردد.

## ۲-۲- رکوپراتور جابجایی

نوع دوم از رکوپراتورها به رکوپراتورهای نوع پوسته لوله ای یا جابجایی معروف می باشد. گازهای گرم حاصل از احتراق از درون تعداد لوله موازی با قطر کم عبور می نماید این در حالیست که هوا وارد محیط پوسته شده و با گازهای گرم حاصل از احتراق که در لوله در جریان است تبادل حرارت می نماید. رکوپراتورهای پوسته لوله نسبت به رکوپراتورهای تشعشعی دارای بازده بیشتری می باشند دلیل این امر هم وجود سطح مناسب جهت تبادل حرارتی مابین سیال گرم (غازهای حاصل از احتراق) و سرد (هوا) می باشد که باعث افزایش ضریب انتقال حرارت در این نوع از رکوپراتورها می گردد.

## ۳-۲- رکوپراتورهای هیبریدی

به منظور افزایش انتقال حرارت موثر از رکوپراتورهای هیبریدی استفاده می گردد، این نوع از رکوپراتورها ترکیبی از دو نوع رکوپراتور مذکور یعنی رکوپراتور جابجایی و تشعشعی می باشد که یک واحد تشعشعی با دمای بالا و به دنبال آن یک بخش جابجایی را شامل می گردد.

## ۴-۲- رکوپراتور سرامیکی

محدودیت عمدۀ بازیابی انرژی از رکوپراتور تشعشعی فلزی کاهش عمر آنها در دماهای بیشتر از  $1100^{\circ}\text{C}$  می باشد. برای محدوده های دمایی بالا به سبب ناکارآمدی رکوپراتورهای فلزی از رکوپراتورهای با لوله های سرامیکی استفاده می گردد. این نوع رکوپراتورها از لحظه عملیاتی می توانند در محدوده دمای گازی (دمای گاز خروجی از دودکش کوره) در حدود  $1550^{\circ}\text{C}$  و برای پیش گرم کن هوا تا  $815^{\circ}\text{C}$  مورد استفاده قرار گیرند.

## ۲- طراحی رکوپراتور حرارتی

در این بخش به طراحی رکوپراتور حرارتی جهت کوره مورد مطالعه یعنی کوره 101-H پالایشگاه تهران پرداخته می شود. این طراحی با استفاده از قوانین انتقال حرارت و روابط موجود در زمینه طراحی مبدل های حرارتی و نیز استفاده از استانداردهای موجود و به منظور تعیین پارامترهای اصلی مبدل حرارتی، صورت می پذیرد.

### ملاحظات طراحی:

- نوع رکوپراتور از نظر عملیاتی با توجه به دمای گازهای خروجی از دودکش ، جابجایی و از لحظه ساختاری پوسته لوله می باشد. جریان هوا وارد پوسته و جریان گازهای گرم حاصل از احتراق وارد لوله می گردد.
- طراحی انجام شده بر اساس استاندارد انجمان تولیدکنندگان مبدل های لوله ای (آمریکا) که به استاندارد TEMA معروف می باشد صورت پذیرفته است.
- جریان گازهای حاصل از احتراق دارای مقدار اندکی گوگرد می باشد بنابراین با توجه به مشکلات عملیاتی گوگرد موجود در جریان گاز خروجی از دودکش (Flue Gas) و بررسی نقطه شبنم گوگرد دمای خروجی از

رکوپراتور باید بیشتر از  $-180$  درجه سانتی گراد باشد که در طراحی، دمای خروجی گاز از رکوپراتور  $200$  درجه سانتی گراد در نظر گرفته شده است.

جدول ذیل حاوی مشخصات سیالات سمت لوله و پوسته می باشد که در ادامه جهت انجام محاسبات طراحی، مورد استفاده قرار می گیرد.

جدول (۱) : مشخصات سیالات سمت لوله و پوسته

Fluid name	Flue gas (Hot Side)	Air (Cold Side)
Flow rate (Kg/s)	38.2	59.48
Temperature (in) ( $^{\circ}$ C)	494	25
Specific Heat (Kj/kg. $^{\circ}$ k)	1.2	1.007
Dynamic Viscosity (N.s/m $^2$ )	$3.6 \times 10^{-5}$	$1.8 \times 10^{-5}$
Density (Kg/m $^3$ )	0.6	1.1
Thermal Conductivity (w/m.k)	$6.88 \times 10^{-2}$	$2.95 \times 10^{-2}$
Pressure (in) (KPa)	101	202
Component (W%)		
N <sub>2</sub>	80	80
O <sub>2</sub>	8.7	20
CO <sub>2</sub>	11.3	0

• محاسبه دمای هوای خروجی از رکوپراتور (هوای پیش گرم شده) :

✓ جریان گاز دودکش

$$Q = m^o C_p \Delta T \quad (1)$$

$$Q = 38.2(1.2)(494 - 200) = 13476.7 KW$$

$$Q = m^o C_p \Delta T$$

$$13476.7 KW = 59.48(1.007)(T - 25)$$

$$T = 250^{\circ}C$$

بنابراین هوای تا  $25^{\circ}$  درجه سانتی گراد پیش گرم می گردد.

✓ جریان هوای

$$Q = UAF\Delta T_{LMTD} \quad (2)$$

• محاسبه سطح کل انتقال حرارت :

-

در ابتدا مبدل را یک گذر لوله و یک گذر پوسته در نظر می گیریم پس  $F=1$  می باشد .

-

با استفاده از جداول TEMA ، ضریب کلی انتقال حرارت (U) را حدس می زنیم:

-

$$U = 80 Kw / m^{2^{\circ}k}$$

گام بعدی محاسبه  $\Delta T_{LMTD}$  می باشد :

-

$$\Delta T_{LMTD} = \frac{250 - 175}{\ln \frac{250}{175}} = 207.83^{\circ}C \quad (3)$$

$$25 \rightarrow 250$$

$$494 \rightarrow 200$$

بنابراین سطح انتقال حرارت کل برابر خواهد شد با :

$$A_h = \frac{Q}{U.F.\Delta T_{LMTD}} = \frac{13476.7 \times 10^3}{80 \times 1 \times 207.8} = 810.68 m^2 \quad (4)$$

سطح محاسبه شده را با جداول موجود در استاندارد TEMA چک می نماییم برای مبدل های پوسته و لوله سطح کل انتقال حرارت می باشد در بازه زیر قرار گیرد :

$$5 < A_h < 1000 m^2 \quad (\textcircled{w})$$

بنابراین سطح محاسبه شده در این محدوده قرار دارد و قابل قبول می باشد.

- محاسبه دبی حجمی جریان گاز دودکش:

$$q_{fluegas} = \frac{m^o}{\rho} = \frac{38.2}{0.6} = 63.67 m^3 / s \quad (8)$$

- ## • حدس سرعت سیال سمت لوله :

$$u = 113 \text{ m/s}$$

- #### • محاسبه سطح کل عبوری جریان گاز دودکش:

$$A_t = \frac{q_{fluegas}}{u} = \frac{63.67}{113} = 0.563 m^2 \quad (\text{V})$$

- ## • انتخاب جنس و نوع لوله :

جنس لوله از نوع Stainless Steels و با مشخصات ذیل انتخاب می گردد:

od: 19.05 mm قطر خارجي لوله: -

Thickness: 2.11 mm - ضخامة لوله:

- قطر داخلى لوله : id:14.83 mm

$$A_{1t} = \frac{\pi d i^2}{4} = 1.726 \times 10^{-4} m^2$$

- ## • محاسبه تعداد لوله ها :

$$n_t = \frac{A_t}{A_{l_t}} = \frac{0.563}{1.726 \times 10^{-4}} = 3262$$

- ## • محاسبه طول لوله ها :

$$A_h = \pi \cdot od \cdot L \cdot n \quad 810.68 = 3.14 \times 0.1905 \times 3262 \times L \quad L = 4.15m \quad (9)$$

- ## • تعیین نوع مبدل پوسته لوله:

$$\Delta T_{fluegas} = \frac{T_{in} + T_{out}}{2} = 347^{\circ}C \quad \Delta T_{air} = \frac{T_{in} + T_{out}}{2} = 137.5^{\circ}C \quad (14)$$

$$\Delta T_b = \Delta T_{\text{fluegas}} - \Delta T_{\text{air}} = 209.8^\circ C \quad \Delta T_b > 80^\circ C$$

به دلیل اینکه  $\Delta T_b > 80^\circ\text{C}$  لذا نوع رکوپراتور سرشناور (Floating Head) انتخاب می‌گردد.

- انتخاب لوله Pitch angel, pitch

با استفاده از استاندارد TEMA و با توجه به اینکه سیال سمت پوسته فاقد هرگونه خورندگی می باشد لذا بهترین انتخاب برای بیشترین سطح انتقال حرارت بصورت مقادیر زیر می باشد :

Pitch angel :30° , Minimum Tube pitch: 23.81 mm

• تعیین قطر بهینه جهت نازلهای سمت پوسته :

$$\begin{aligned} Di_{opt} &= 3.9 q_{air}^{0.45} \times \rho_{air}^{0.13} & m_A^o &= \rho U_{opt} A \\ Di_{opt} &= 2179.32 \text{ mm} & U_{opt} &= 15 \text{ m/s} \end{aligned} \quad (11)$$

• قطر نازلهای سمت پوسته :

با استفاده از استاندارد TEMA مطابق با استاندارد لوله ها قطر نازل های سمت پوسته به قرار زیر می باشد :

قطر داخلی نازل سمت پوسته :	۲۰۲,۷ mm
قطر خارجی نازل سمت پوسته :	۲۱۹,۶۷۸ mm

• تعیین قطر پوسته :

با استفاده از جدول استاندارد (Tube count) با توجه به نوع مبدل و تعداد لوله ها می توان قطر پوسته را بدست آورد :

$$D_{shell} = 1448 \text{ mm}$$

حال با استفاده از همین جدول (Tube count) تعداد لوله ها استاندارد می گردد:

$$n_t = 3114$$

در مبدل های پوسته لوله برای بررسی گذر های سمت لوله و پوسته نسبت طول مبدل به قطر پوسته باید عددی بین ۲ تا ۵ باشد  
تا اولاً مبدل از لحاظ شکل ظاهری و ساختاری غیر متقاضی نبوده و ثانیاً از لحاظ اقتصادی مقرر باشد :

$$2 < \frac{L}{D_s} < 5 \quad \frac{L}{D_s} = 2.86 \quad (12)$$

همانگونه که ملاحظه گردید نسبت طول مبدل به قطر خارجی پوسته در بازه مذکور  
قرار دارد بنابراین فرض  $F=1$  که مبدل دارای یک گذر لوله و یک گذر پوسته است، صحیح می باشد.

• بررسی نیاز به صفحه برخورد :

با استفاده از استاندارد TEMA و نوع سیال سمت پوسته چون سیال سمت پوسته تک فاز و غیر خورنده است و از معیار ۲۲۳۰ کوچکتر است (معیار TEMA) لذا نیاز به استفاده از صفحه برخورد وجود نخواهد داشت.

$$\rho_{air} \times U_{opt}^2 = 227 < 2230 \quad (13)$$

• استاندارد نمودن طول مبدل بر مبنای استاندارد TEMA :

طول مبدل به نزدیکترین طول موجود در استاندارد TEMA تبدیل می گردد :

$$L = 3.658 \text{ m} = 3658 \text{ mm}$$

• تصحیح ضریب کل انتقال حرارت :

با توجه به اینکه طول رکوپراتور و تعداد لوله ها استاندارد گردید لذا می بایست ضریب کلی انتقال حرارت ( $U$ ) نیز تصحیح گردد:

$$\frac{U_2}{U_1} = \left( \frac{L_1}{L_2} \right) \times \left( \frac{n_1}{n_2} \right) \quad U_2 = 80 \left( \frac{4.15}{3.658} \right) \times \left( \frac{3262}{3114} \right) \quad U_2 = 95 \text{ kW/m}^{2.0} \text{ k} \quad (14)$$

• تصحیح سرعت سیال سمت لوله :

با توجه به اینکه تعداد لوله ها استاندارد گردید بنابراین سرعت سیال سمت لوله که ابتدا حدس زده شد، تصحیح می گردد:

$$n_t = 3114 \quad A_t = 3114 \frac{\pi}{4} 0.01483^2 = 0.583m^2 \quad u = \frac{q_{fluegas}}{A_t} = 118.364m/s \quad (15)$$

بنابراین سرعت سیال سمت لوله می بایست  $m/s$  ۱۱۸,۳۶۴ انتخاب گردد.

محاسبات سمت لوله

• محاسبه افت فشار سمت لوله :

افت فشار کل سمت لوله از حاصل جمع افت فشار لوله ها، افت فشار هدها و افت فشار نازل ها حاصل می گردد.

$$\Delta P_{Tube} = \Delta P_t + \Delta P_h + \Delta P_{nt} \quad (16)$$

• افت فشار در لوله ها ( $\Delta P_t$ ) :

$$\Delta P_t = \frac{4 f L m^2}{2 \rho d_i \phi_i} \quad \phi_i = 1 \quad (17)$$

ابتدا باید نوع رژیم جریان مشخص گردد :

$$Re = \frac{\rho u d_i}{\mu} = 29250 \quad (18)$$

رژیم جریان آشفته می باشد بنابراین ضریب اصطکاک (f) از رابطه زیر محاسبه می گردد :

$$f = 0.0035 + \frac{0.264}{Re^{0.42}} = 0.007 \quad \Delta P_t = \frac{4 f L m^2}{2 \rho d_i \phi_i} = 29016.2 Pa \quad (19)$$

• افت فشار در هد ها ( $\Delta P_h$ ) :

$$\Delta P_h = k_h \left( \frac{\rho u_1^2}{2} \right) N_p \quad (20)$$

برای مبدل یک گذر لوله و پوسته  $N_p = 1$  و  $k_h = 0.9$  می باشد.

$$\Delta P_h = 0.9 \left( \frac{0.6 \times 118.36^2}{2} \right) \times 1 = 3781.18 Pa \quad (21)$$

• افت فشار در نازلهای ورودی و خروجی ( $\Delta P_{nt}$ ) :

$$\Delta P_h = k_{nt} \left( \frac{\rho u_n^2}{2} \right) \quad (22)$$

ابتدا باید از رابطه  $D_i_{opt}$  سرعت  $u_n$  محاسبه گردد :

$$D_i_{opt} = 3.9 q_{air}^{0.45} \times \rho_{air}^{0.13} \quad D_i_{opt} = 2083 mm \quad m_f^o = \rho u_n A \quad u_n = 18.683 m/s \quad (23)$$

برای نازل خروجی  $k_{nt}=0.7$  و برای نازل ورودی  $k_{nt}=1.1$  می باشد.

$$\Delta P_{nt-in} = 1.1 \frac{0.6 \times 18.683^2}{2} = 115.188 Pa \quad \Delta P_{nt-out} = 0.7 \frac{0.6 \times 18.683^2}{2} = 73.3 Pa \quad (24)$$

$$\Delta P_{nt} = \Delta P_{nt-in} + \Delta P_{nt-out} = 188.5 Pa \quad (25)$$

#### • افت فشار کل سمت لوله :

$$\Delta P_{Tube} = \Delta P_t + \Delta P_h + \Delta P_{nt} = 32.986 KPa \quad (26)$$

محاسبات سمت پوسته :

محاسبه عدد رینولدز سیال سمت پوسته :

$$Re = \frac{m_c d_o}{\eta_b} \quad m_c = \frac{m_o}{s_m} = \frac{m_o}{s_{mu} L_s} = \frac{59.48 kg / s}{0.3239 \times 0.54} = 340.06 kg / m^2 \cdot sec \quad s_{mu} = 0.3239$$

$$Re = \frac{340.06 \times 19.05 \times 10^{-3}}{1.89 \times 10^{-4}} = 34275 > 300 \quad (27)$$

بنابراین رژیم جریان در هم (آشفته) می باشد.

$$\frac{D_s}{5} = \frac{1448^{mm} / 25.4}{5} = 11.4^{in} = 27.5^{cm} > 2^{in} \quad L_s = 54^{cm}, L_e = 90^{cm}, N_b = 9 \quad (28)$$

#### • محاسبه افت فشار سمت پوسته

افت فشار کل سمت پوسته از حاصل جمع افت فشار جریان متقطع، افت فشار پنجره بفل ها، افت فشار در فاصله بفل انتهایی و افت فشار نازل ها حاصل می گردد.

$$\Delta P_{shell} = (N_b - 1)\Delta P_c + N_b \Delta P_w + \Delta P_e + \Delta P_n \quad (29)$$

توجه: ضرایب و فاکتورهای موجود در روابط تعیین افت فشار از مرجع طراحی مبدل های حرارتی "E.A.D Saunders" استخراج گردیده است.

#### • محاسبه افت فشار جریان متقطع ( $\Delta P_c$ ) :

$$\Delta P_c = (F_F F_P)(F_M F_C) / \phi_{nl} \quad (30)$$

$$F_F = (M_o)^{1.75} = (59.48)^{1.75} = 1273.9 \quad F_P = \frac{\eta_b^{0.25}}{\rho} = \frac{(1.89 \times 10^{-5})^{0.25}}{1.17} = 0.06 \quad F_M = 5.162 \times 10^3$$

$$F_C = \frac{X_C}{(BSR)^m} \quad BSR = \frac{L_s}{D_s} = \frac{54^{cm}}{144.8^{cm}} = 0.37 \quad X_C = 0.073 \quad m = 1.693$$

$$F_C = \frac{0.073}{(0.37)^{1.693}} = 0.259 \quad \phi_{nl} = 1 \quad \Delta P_c = (1273.9)(0.06)(5.162 \times 10^3)(0.259) = 153 Pa$$

• محاسبه افت فشار پنجره بفل ها ( $\Delta P_w$ ):

$$\Delta P_w = (F_F F_P)(F_M F_C) \quad (31)$$

$$F_F = M_o^2 = (59.48)^2 = 3537.8 \quad F_P = \frac{1}{\rho} = \frac{1}{1.17} = 0.85 \quad F_M = 0.12 \times 10^3 \quad (32)$$

$$F_C = \frac{X_c}{(BSR)^m}, X_c = 0.333, m = 0.756, BSR = 0.37 \Rightarrow F_C = \frac{0.333}{(0.37)^{0.756}} = 0.7$$

$$\Delta P_w = (3537.8)(0.85)(0.7)(0.12 \times 10^3) = 252 Pa$$

• محاسبه افت فشار در فاصله بفل انتهایی ( $\Delta P_e$ ):

$$\Delta P_e = \Delta P_c \frac{X_e}{Lr^e} \quad Lr = \frac{L_e}{L_s} = \frac{90}{54} = 1.6 \quad e = 1.75 \quad X_e = 2.1 \quad \Delta P_e = 153 \frac{2.1}{1.6^{1.75}} = 141.1 Pa \quad (33)$$

• محاسبه افت فشار نازل های سمت پوسته ( $\Delta P_n$ ):

$$\Delta P_n = K_{ns} \left( \frac{M_n^2}{2\rho} \right) = K_{ns} \left( \frac{\rho U_n^2}{2} \right) \quad (34)$$

توجه: طبق محاسبات انجام شده، نیازی به استفاده از صفحه برخورد وجود ندارد.

$$K_{ns} = 1 + \frac{1}{(\frac{S_e}{S_n}) + 0.6(P_t - \frac{d_o}{P_t})^2} \quad S_e = \pi d_n h \Rightarrow S_e = 32205.7 \quad S_n = \frac{\pi d_n^2}{4} \Rightarrow S_n = 32253.52$$

$$K_{ns} = 1.03 \quad \Delta P_n = 1442.96 Pa \quad (35)$$

• افت فشار کل سمت پوسته

افت فشار کل سمت پوسته، طبق رابطه ارائه شده از حاصل جمع افت فشارهای بالا حاصل می گردد.

$$\Delta P_{Shell} = 28.446 KPa$$

همانگونه که ملاحظه گردید محاسبات مختلفی جهت تعیین پارمترهای اصلی به منظور طراحی رکوپراتور کوره H-101 پالایشگاه تهران، صورت پذیرفت که در جدول زیر مجموعه این محاسبات قابل مشاهده می باشد.

جدول (۲) : مشخصات رکوپراتور طراحی شده جهت کوره H-101

Recuperator H-101			
Design Variable			
Flue gas Temp (in/out) (°C)	494/200	Tube Nozzle i.d (in/out) (mm)	202.7
Air Temp (in/out) (°C)	25/250	Shell Nozzle i.d (in/out) (mm)	254.5
Flue gas flow rate ( Kg/s)	38.2	Shell od (mm)	1524
Air flow rate ( Kg/s)	59.48	Recuperator type( Shell & Tube)	floating head
Tubes: od ,id , thk , pitch , angel( mm)	19.05×14.83×2.11×23.81×30°	Velocity in tubes (m/s)	118.5
Tube Material	Stainless Steel	Tube ( $\Delta P$ ) (Pa)	32986
No. of tube per shell (1 pass)	3114	Ws : Tube ( Kw)	2100
Tube length ( m)	3.658	Shell ( $\Delta P$ ) (Pa)	28446
Surface one shell ( m²)	810.68	Ws : Shell (Kw)	1680

## ۴- شبیه سازی رکوپراتور حرارتی

با توجه به نیاز روز افزون صنعت به انجام محاسبات سریع، دقیق و کم هزینه، استفاده از رایانه و مزایای آن اجتناب ناپذیر است. از کاربردهای موثر رایانه در صنایع نفت، گاز و پتروشیمی، شبیه سازی افزارهای خاص و از جمله نرم افزار Aspen HTFS+ است. این نرم افزار به گونه ای برنامه ریزی شده است که صحت و سرعت شبیه سازی را به سادگی کار شبیه سازی تلفیق می نماید. این نرم افزار برای طراحی جدید قادر است به سرعت مدلها را برای ارزیابی گزینه های متعدد بوجود آورد، پس از گزینش چند طرح برتر، می توان مدلهایی بسیار واقع بینانه بر مبنای آنها ایجاد نمود. برنامه مورد استفاده جهت انجام شبیه سازی در مقاله پیش روی نرم افزار Aspen Hetran است که از زیر مجموعه های Aspen HTFS+ می باشد، این نرم افزار برنامه ای برای طراحی ، ارزیابی و شبیه سازی مبدل های پوسته و لوله در کلیه کاربردهای صنعتی نظیر انتقال حرارت بدون تعییر فاز ، میعان و تبخیر می باشد که از سه حالت شبیه سازی بهره مند می باشد :

(۱) در حالت طراحی (Design Mode) ، نرم افزار مبدل حرارتی بهینه را با بار حرارتی مشخص و با در نظر گرفتن محدوده های افت فشار مجاز ، سرعت ، قطر پوسته ، طول لوله و دیگر محدودیت هایی مشخص شده ، طراحی می نماید.

(۲) در حالت ارزیابی (Rating Mode) ، نرم افزار کارآبی یک مبدل موجود ( ساخته شده ) را در شرایط عملیاتی مورد نظر بررسی می کند. در این حالت نرم افزار مشخص می کند که آیا سطح انتقال حرارت موجود در شرایط مورد نظر اهداف را برا آورده می سازد یا خیر.

(۳) در حالت شبیه سازی (Simulation Mode) ، نرم افزار با مشخص کردن ساختار مبدل و شرایط ورودی ها ، شرایط جریان های خروجی را پیش بینی می کند.

## ۴-۱- نتایج شبیه سازی

قابل ذکر است جهت انجام شبیه سازی رکوپراتور مورد بحث توسط نرم افزار مذکور از مد طراحی (Design Mode) استفاده گردید و پس از اجرای نرم افزار در صفحه نتایج که حاوی زیر صفحه هایی به نام های خلاصه وضعیت طراحی<sup>۴</sup>، خلاصه وضعیت حرارتی<sup>۵</sup>، خلاصه وضعیت مکانیکی<sup>۶</sup> و جزئیات محاسبه<sup>۷</sup> می باشد نتایج کامل شبیه سازی قابل مشاهده و تجزیه و تحلیل می باشد. یکی از مهمترین این صفحات، صفحه TEMA Sheet است که از زیر صفحه های خلاصه وضعیت حرارتی است، در این صفحه اطلاعات کامل مبدل حرارتی پوسته لوله شبیه سازی شده از جمله اطلاعات مکانیکی و ساختاری و نیز کارائی مبدل، قابل مشاهده و ارزیابی خواهد بود. در ادامه این بحث، صفحه مذکور و همچنین طرح شماتیک مبدل که در برگیرنده ابعاد قسمت های مختلف و نیز آرایش و نحوه قرار گیری لوله ها در دسته لوله است، قابل مشاهده خواهد بود.

<sup>4</sup>. Design Summary

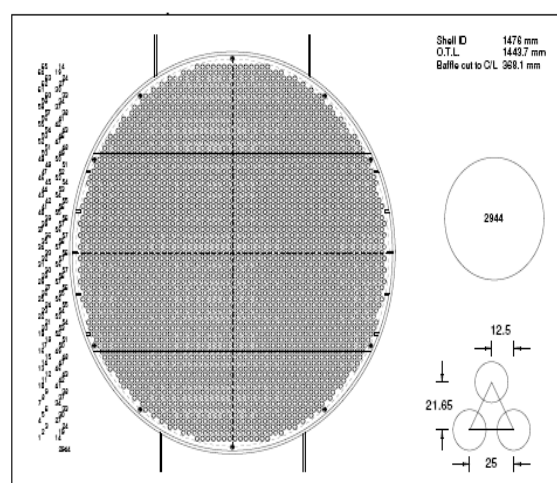
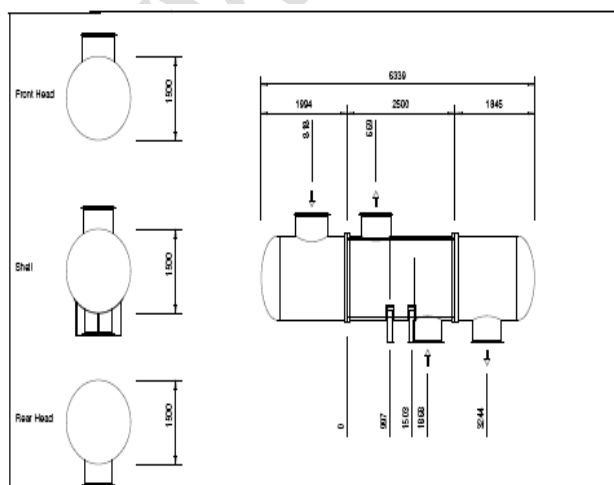
<sup>5</sup>. Thermal Summary

<sup>6</sup> . Mechanical Summary

<sup>7</sup> . Calculation Details

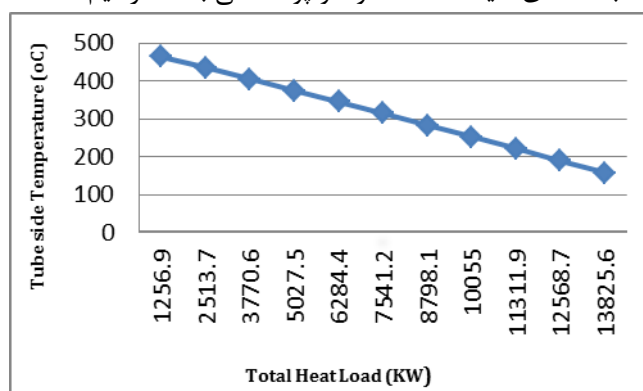
جدول(۳) : مشخصات رکوپراتور حرارتی شبیه سازی شده توسط نرم افزار

1	Company: Tehran Refinery					
2	Location: Tehran - Iran					
3	Service of Unit: Our Reference:					
4	Item No.: Your Reference:					
5	Date: 20014 Rev No.: Job No.:					
6	Size 1476-2500 mm Type BEM hor Connected in 3 parallel 1 series					
7	Surf/unit(eff.) 1311.6 m <sup>2</sup> Shell/unit 3 Surf/shell (eff.) 437.2 m <sup>2</sup>					
8	PERFORMANCE OF ONE UNIT					
9	Fluid allocation	Shell Side	Tube Side			
10	Fluid name	Air	Flue gas			
11	Fluid quantity, Total kg/s	59.48	59.48	38.2	38.2	
12	Vapor (In/Out) kg/s	59.48	59.48	38.2	38.2	
13	Liquid					
14	Noncondensable					
15						
16	Temperature (In/Out) °C	25	250	494	157.71	
17	Dew / Bubble point °C					
18	Density kg/m <sup>3</sup>	2.35	1.34	0.47	0.84	
19	Viscosity mPa s	0.019	0.029	0.095	0.024	
20	Molecularwt, Vap					
21	Molecularwt, NC					
22	Specific heat kJ/(kg K)	1.019	1.051	1.12	1.035	
23	Thermal conductivity W/(m K)	0.026	0.039	0.054	0.039	
24	Latent heat kJ/kg					
25	Pressure bar	2.0265		1.01325		
26	Velocity m/s	33.07		33.87		
27	Pressure drop, allow/calc.	bar	0.89948	0.68578	0.4053	
28	Fouling resist. (min)	m <sup>2</sup> K/W			0.0258	
29	Heat exchanged 19825.6 kW		MTD corrected	192.74 °C		
30	Transfer rate, Service 57.7	Dirty 81.7	Clean 81.7		W/(m <sup>2</sup> K)	
31	CONSTRUCTION OF ONE SHELL					Sketch
32		Shell Side	Tube Side			
33	Design/Test pressure bar	5.17107 / Code	5.17107-1.01359 Code			
34	Design temperature °C	287.78	592.22			
35	Number passes per shell	1	1			
36	Corrosion allowance mm	1.59	1.59			
37	Connections In	650 150 ANSI	750 400 ANSI			
38	Size/rating Out	700 150 ANSI	650 400 ANSI			
39	mm Intermediate	/150 ANSI	400 ANSI			
40	Tube No. 2944 OD 20	Tube-avg 1.65 mm	Length 2500 mm	Pitch 25 mm		
41	Tube type Plain	Material CS		Tube pattern 30		
42	Shell CS	ID OD 1500 mm	Shell cover			
43	Channel or bonnet CS		Channel cover			
44	Tubesheet-stationary CS		Tubesheet-floating			
45	Floating head cover		Impingement protection None			
46	Baffle-crossing CS	Type single seg Cut(%d)	25 hor Spacing: o/c 570.99 mm			
47	Baffle-long	Seal type	Inlet 864.99 mm			
48	Support-tube U-bend		Type			
49	Bypass seal	Tube-tubesheet joint	groove/expand			
50	Expansion joint	Type				
51	Rho/2-Inlet nozzle 1806	Bundle entrance 8493	Bundle exit 11485	kg/(m s <sup>2</sup> )		
52	Gaskets - Shell side	Tube Side				
53	Floating head					
54	Code requirements ASME Code Sec VIII Div 1		TEMA class B			
55	Weight/Shell 17667.9	Filled with water 26899.4	Bundle 10294.4	kg		
56	Remarks					
57						
58						

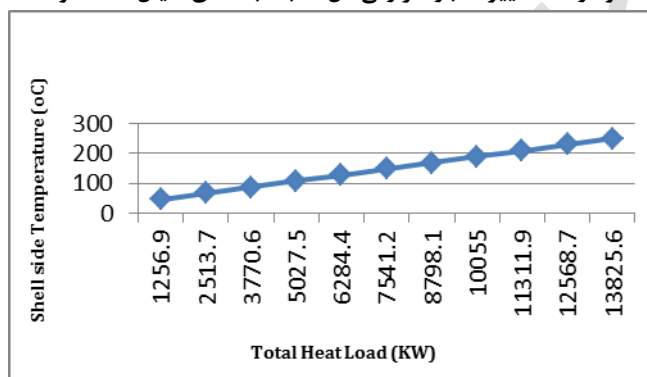


شکل(۲) : طرح شماتیک مبدل حرارتی شبیه سازی شده

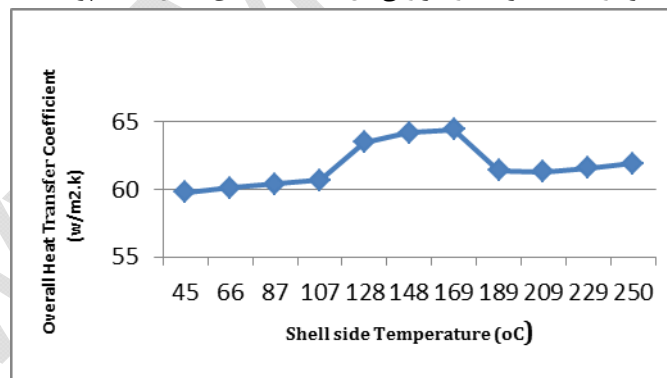
با استفاده از نتایج حاصل از شبیه سازی نمودارهای زیر که نشانگر روند تغییرات بار حرارتی کل و همچنین روند تغییرات ضریب کلی انتقال حرارت نسبت به دمای سیالات سمت لوله و پوسته می باشد، ترسیم شده اند.



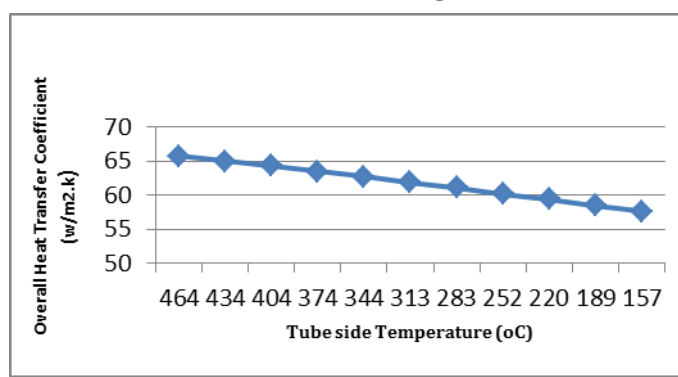
نمودار(۱) : تغییرات بار حرارتی کل نسبت به دمای سیال سمت لوله



نمودار(۲) : تغییرات بار حرارتی کل نسبت به دمای سیال سمت پوسته



نمودار(۳) : تغییرات ضریب کلی انتقال حرارت نسبت به دمای سیال سمت پوسته



نمودار(۴) : تغییرات ضریب کلی انتقال حرارت نسبت به دمای سیال سمت لوله

## نتیجه گیری و پیشنهاد

در این مقاله طراحی و شبیه سازی مبدل حرارتی پیش گرمکن هوای ورودی به کوره (رکوپراتور حرارتی)، مورد بحث بررسی قرار گرفت. هدف از طراحی این مبدل جهت کوره H-101 پالایشگاه تهران ارائه روند انجام محاسبات جهت آشنائی با چگونگی تعیین پارامترهای کلیدی مبدل حرارتی بر اساس استاندارد TEMA و نیز هدف از شبیه سازی رکوپراتور مذکور علاوه بر آشنائی با نرم افزار Aspen Hetran امکان ایجاد شرایطی جهت مقایسه پارامترهای تعیین شده در حالت طراحی و شبیه سازی، بوده است. همانگونه که ملاحظه گردید در هر دو حالت دبی هوا ثابت (59,48 kg/s) و دمای هوا از 25 °C به 25 °C پیش گرم می گردد. در حالت نخست مبدل طراحی شده پوسته لوله و از نوع Floating Head با تعداد لوله ۱۱۴ طول لوله ۳,۶۵ m، قطر خارجی لوله ۱۹,۰۵ mm و قطر خارجی پوسته ۱۵۲۴ mm محاسبه گردید. در حالت دوم مبدل شبیه سازی شده نیز پوسته لوله و از نوع Floating Head (BEM) با تعداد لوله ۲۹۴۴، طول لوله ۲,۵ m، قطر خارجی لوله ۲۰ mm و قطر خارجی پوسته ۱۵۰۰ mm تعیین گردید. هر چند چنین انتظاری وجود ندارد که مقادیر حاصل از طراحی و شبیه سازی کاملاً یکسان باشند ولی نگاهی گذرا به پارامترهای محاسبه شده نشانگر این است که مقادیر به مقدار قابل توجهی به یکدیگر نزدیک می باشند. نکته بسیار مهم در ارتباط با قیمت تمام شده مبدل های پوسته لوله ارتباط مستقیم قطر خارجی پوسته با قیمت مبدل حرارتی می باشد بطوریکه با افزایش قطر پوسته به طور چشمگیری قیمت مبدل طراحی شده افزایش می یابد لذا در شرایط یکسان همواره مبدل با قطر پوسته کمتر از لحاظ اقتصادی مفروض به صرفه تر خواهد بود. در انتها قابل ذکر است جهت تعیین قیمت مبدل طراحی و شبیه سازی شده می توان از نرم افزار Aspen Qchex که از زیر مجموعه های Aspen HTFS+ می باشد، بهره گیری نمود.

## علائم اختصاری

میزان انتقال حرارت: $Q$	قطر خارجی لوله: $d$	عدد رینولدز: $Re$	افت فشار در فالصه بفل انتهائي: $\Delta P_f$	ضریب تصحیح ویسکوزیته: $\phi$
$m^0$ : دبی جرمی:	قطر داخلی لوله: $d_i$	ویسکوزیته: $\eta$	افت فشار نازل سمت پوسته: $\Delta P_n$	ضریب تصحیح ویسکوزیته: $\phi_n$
$C_p$ : گرمای ویبه:	تعداد لوله: $n$	حداقل سطح عبوری: $S_{min}$	فاکتور دبی سیال: $F_D$	تعداد گذر لوله: $N_p$
ضریب کلی انتقال حرارت: $U$	دانسیته: $\rho$	فالصه بفل مرکزی: $L_s$	فاکتور خواص فیزیکی: $F_p$	سطح داخلی نازل: $S_n$
اختلاف دمای لگاریتمی: $\Delta T_{LMTD}$	طول لوله: $L$	فالصه بفل ابتدائي و انتهائي: $L_{in}, L_{out}$	فاکتور طراحی مکانیکی: $F_M$	سطح فرار جهت نازل پوسته: $S_e$
ضریب تصحیح: $F$ : $\Delta T_{LMTD}$	افت فشار لوله: $\Delta P_l$	تعداد بفل ها: $N_b$	فاکتور تصحیح طراحی مکانیکی: $F_C$	سرعت در دهنده نازل: $U_n$
سطح کل انتقال حرارت: $A$	افت فشار هدها: $\Delta P_h$	افت فشار جریان متقاطع: $\Delta P_c$	نسبت فالصه بفل ها: $BSR$	گام لوله: $P$
دبی حجمی: $q$	افت فشار نازل: $\Delta P_{nl}$	افت فشار پنجره بفل: $\Delta P_w$	ضریب اصطکاک: $f$	

## فهرست منابع

- [1] Antonio J. Gutiérrez Trashorrasa, Eduardo Álvarez Álvarez." Design and evaluation of a heat recuperator for steel slags". Applied Thermal Engineering, Volume 56, Issues 1–2, July 2013, Pages 11–17.
- [2] Lovina. G.Kerachic. Xau, "Waste Heat Reduction and Recovery for Improving Furnace Efficiency, Productivity, and Emissions Performance", Industrial Technologies Program Energy Efficiency and Renewable Energy U.S. Department of Energy Washington, 2010.
- [3] Harshdeep Sharmaa, Varunb." Performance analysis of metallic concentric tube recuperator in parallel flow arrangement". International Journal of Heat and Mass Transfer,Volume 55, Issues 25–26, December 2012, Pages 7760–7771.
- [4] F.P. Incopera, P.J. Prescott,D." Hybrid systems for furnace waste heat recovery: I. Use of a radiation recuperator with a Rankine cycle". Journal of Heat Recovery Systems, Volume 5, Issue 4, 2009.
- [5] E. Azad, M. Aliahmad. "Thermal performance of waste-heat recuperator with heat pipes for thermal power station". Heat Recovery Systems and CHP, Volume 9, Issue 3, 2005, Pages 275–280.
- [6] Andre E. Grihangne. "High capacity oil recuperator for de-pollution in rough waters". Environment International, Jun 2010.
- [7] E.A.D Saunders, Wiley John and sons, "Heat Exchangers Selection, Design and Construction", 1998 & 9TH Edition TEMA Standard.
- [8] Solnia. DK, " Heat recovery for furnaces with recuperator systems". H.T.S Joornal. May 2011.
- [9] S. B. Young, J. W. Bjerklie, "High temperature heat recovery system using ceramic recuperators", Hague International South Portland, 2004.
- [10] Reay, D.A., Swran .E.R," Low Temperature Waste Heat Recovery in the Process Industry", Good Practice Guide No. 141. 2002.

www.Mobadel.ir